

Metody Obliczeniowe w Nauce i Technice

Sprawozdanie | Aproksymacja Wielomianami Algebraicznymi

Paweł Fornagiel | Informatyka rok II | Grupa 5

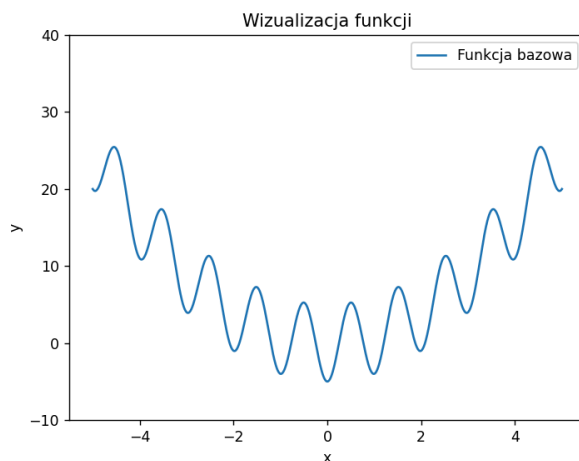
Data Wykonania: 25.04.2025 | Data Oddania: 15.04.2025

1. Analiza przypadku

Dana jest funkcja

$$f(x) = x^2 - m \cos\left(\frac{\pi x}{k}\right),$$

gdzie $m = 5$ oraz $k = 0.5$,
określona dla $x \in [-5; 5]$ (1.1)



Rysunek 1: Wykres funkcji $f(x) = x^2 - m \cos\left(\frac{\pi x}{k}\right)$

W poniższej pracy przeprowadzono analizę funkcji zadanej w problemie **aproksymacji średniokwadratowej** poprzez jej dyskretyzację przy użyciu wielomianów algebraicznych.

W ramach eksperymentów numerycznych rozważono różne liczby punktów dyskretyzacji $n \in \{3, 6, 9, \dots, 100\}$ oraz różne stopnie wielomianów aproksymujących $m \in \{2, 5, 8, \dots, 90\}$,

Celem badania wyznaczenie wartości funkcji w określonych punktach oraz skonstruowanie jej przybliżenia na podstawie tych danych, graficzna ilustracja oraz analiza wybranych i interesujących przypadków.

Aproksymacja wielomianami algebraicznymi jest realizowana metodą rozwiązywania **układu równań**, gdzie za niewiadomymi są odpowiednie współczynniki wielomianu.

W implementacji, do rozwiązania niżej opisanych układów równań w języku Python posłużyła funkcja `numpy.linalg.solve` będąca częścią biblioteki Numpy. W samej bibliotece, rozwiązanie układu równań liniowych jest obliczane za pomocą rozkładu LU z częściowym wyszukiwaniem elementu głównego i zamianami wierszy.

2. Wyznaczenie dokładności aproksymacji

Pomiar dokładności przeprowadzony został, porównując wartości aproksymowanej funkcji z wartościami wyznaczonego wielomianu aproksymacji dla $m = 1000$ równoodległych punktów, rozmieszczonych na całym przedziale $x \in [-5; 5]$ z wykorzystaniem niżej wymienionych wskaźników. Wizualizacja błędów przedstawiona jest w Sekcja 6.

2.1. Błąd średniokwadratowy

Błąd średniokwadratowy (ang. *Minimum Square Error, MSE*) wyrażony jest wzorem

$$E_s = \frac{\sqrt{\sum_{i=0}^l (W(x_i) - f(x_i))^2}}{l} \quad (2.1)$$

, gdzie

- l - liczba punktów pomiaru błędu
- f - funkcja z Wzór (1.1)
- W - funkcja wielomianu interpolacji
- x_i - punkt, w którym dokonywany jest pomiar

2.2. Błąd maksymalny

Błąd maksymalny wyrażony jest wzorem

$$E_m = \max_{i \in \{1, 2, \dots, l\}} (|W(x_i) - f(x_i)|) \quad (2.2)$$

, gdzie

- l - liczba punktów pomiaru błędu
- f - funkcja z Wzór (1.1)
- W - funkcja wielomianu interpolacji
- x_i - punkt, w którym dokonywany jest pomiar

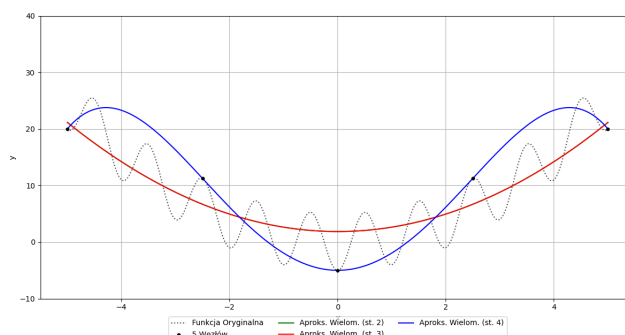
3. Dane techniczne

Zadanie zostało przeprowadzone z użyciem narzędzi o następujących parametrach:

- Komputer HP EliteBook 840 G6:
 - System operacyjny: Windows 11 x64
 - Procesor Intel(R) Core(TM) i5-8365U CPU 1.60GHz 1.90 GHz
 - Pamięć RAM: 8GB
- Środowisko: Jupyter Notebook
- Język: Python 3.9.20
- Biblioteki języka: Numpy, Pandas, Matplotlib

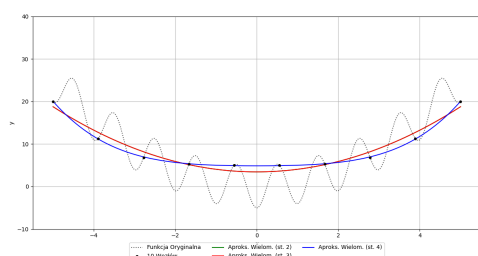
4. Wizualizacja aproksymacji dla stałej liczby węzłów n

4.1. Dla $n = 5$ węzłów

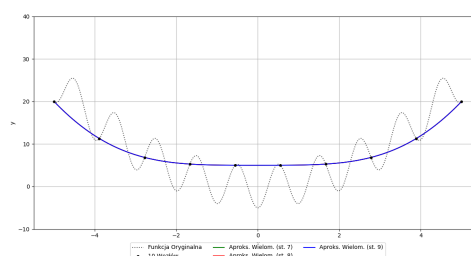


Rysunek 2: Wizualizacja Aproksymacji | Liczba węzłów = 5 | Stopnie $m = 2, 3, 4$

4.2. Dla $n = 10$ węzłów

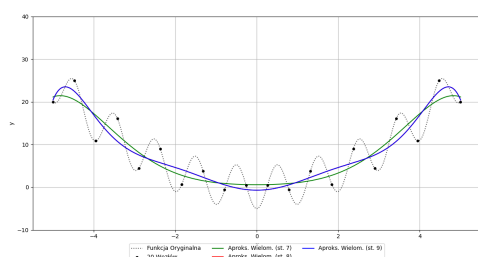


Rysunek 3: Wizualizacja Aproksymacji | Liczba węzłów = 10 | Stopnie $m = 2, 3, 4$

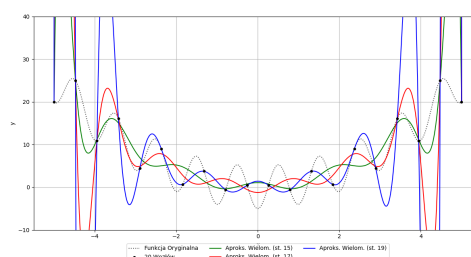


Rysunek 4: Wizualizacja Aproksymacji | Liczba węzłów = 10 | Stopnie $m = 7, 8, 9$

4.3. Dla $n = 20$ węzłów

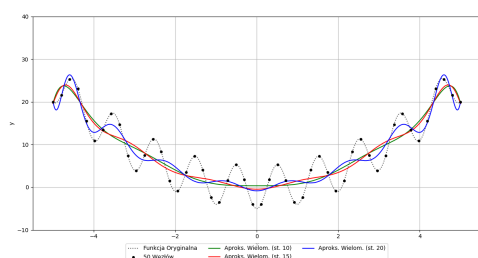


Rysunek 5: Wizualizacja Aproksymacji | Liczba węzłów = 20 | Stopnie $m = 7, 8, 9$

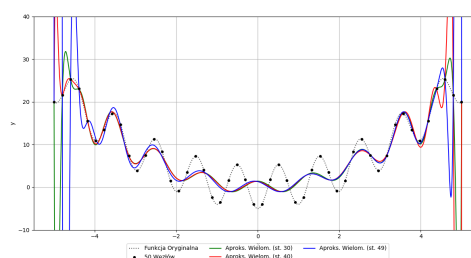


Rysunek 6: Wizualizacja Aproksymacji | Liczba węzłów = 20 | Stopnie $m = 15, 17, 19$

4.4. Dla $n = 50$ węzłów

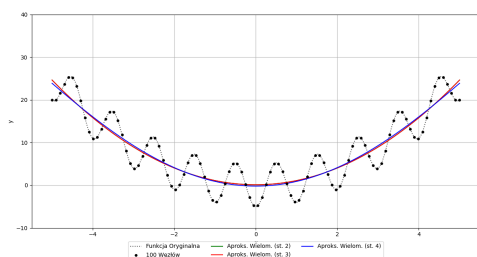


Rysunek 7: Wizualizacja Aproksymacji | Liczba węzłów = 50 | Stopnie $m = 10, 15, 20$

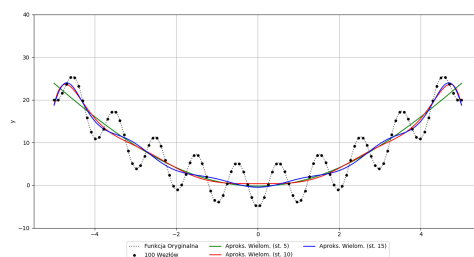


Rysunek 8: Wizualizacja Aproksymacji | Liczba węzłów = 50 | Stopnie $m = 30, 40, 49$

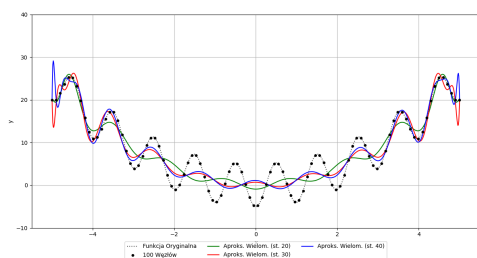
4.5. Dla $n = 100$ węzłów



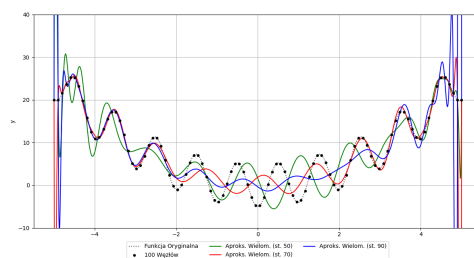
Rysunek 9: Wizualizacja Aproksymacji | Liczba węzłów = 100 |
Stopnie $m = 2, 3, 4$



Rysunek 10: Wizualizacja Aproksymacji | Liczba węzłów = 100
| Stopnie $m = 5, 10, 15$



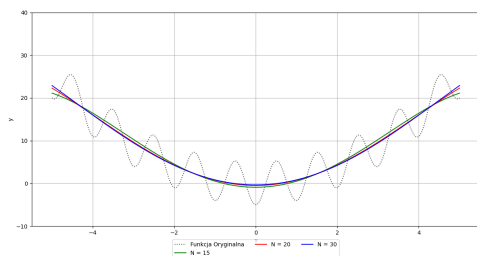
Rysunek 11: Wizualizacja Aproksymacji | Liczba węzłów = 100
| Stopnie $m = 20, 30, 40$



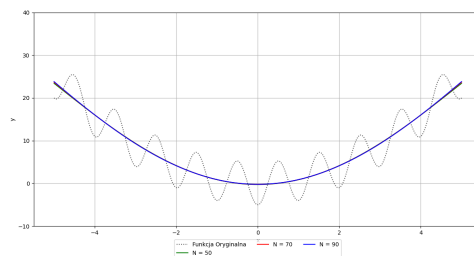
Rysunek 12: Wizualizacja Aproksymacji | Liczba węzłów = 100
| Stopnie $m = 50, 70, 90$

5. Wizualizacja aproksymacji dla stałego stopnia wielomianu m

5.1. Dla stopnia $m = 5$

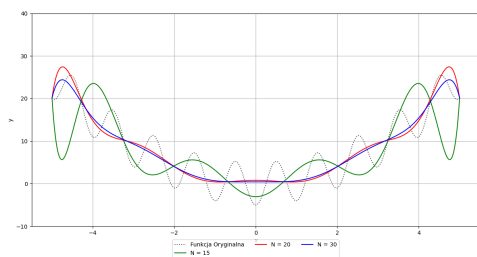


Rysunek 13: Wizualizacja Aproksymacji | Stopień wielomianu
 $m = 5$ | Liczby węzłów $n = 15, 20, 30$

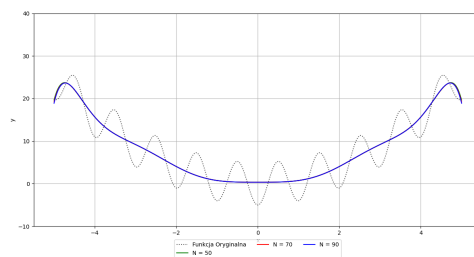


Rysunek 14: Wizualizacja Aproksymacji | Stopień wielomianu
 $m = 5$ | Liczby węzłów $n = 50, 70, 90$

5.2. Dla stopnia $m = 10$

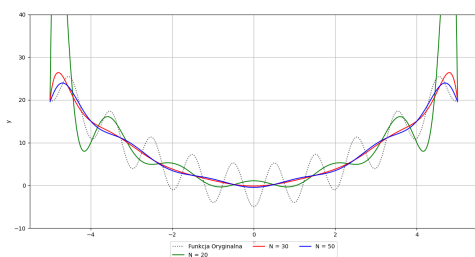


Rysunek 15: Wizualizacja Aproksymacji | Stopień wielomianu
 $m = 10$ | Liczby węzłów $n = 15, 20, 30$

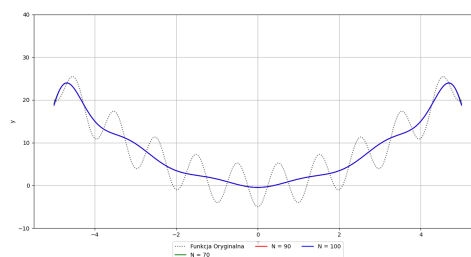


Rysunek 16: Wizualizacja Aproksymacji | Stopień wielomianu
 $m = 10$ | Liczby węzłów $n = 50, 70, 90$

5.3. Dla stopnia $m = 15$

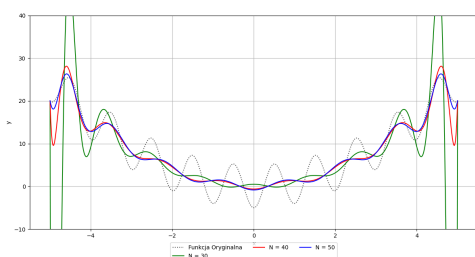


Rysunek 17: Wizualizacja Aproksymacji | Stopień wielomianu $m = 15$ | Liczby węzłów $n = 20, 30, 50$

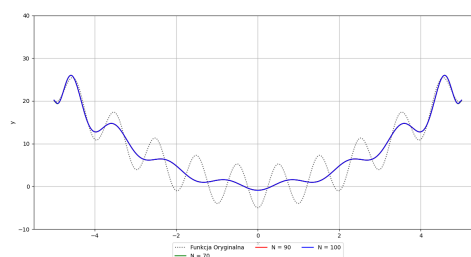


Rysunek 18: Wizualizacja Aproksymacji | Stopień wielomianu $m = 15$ | Liczby węzłów $n = 70, 90, 100$

5.4. Dla stopnia $m = 20$

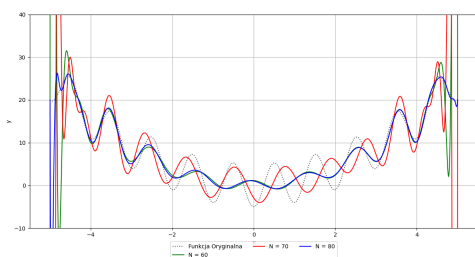


Rysunek 19: Wizualizacja Aproksymacji | Stopień wielomianu $m = 20$ | Liczby węzłów $n = 30, 40, 50$

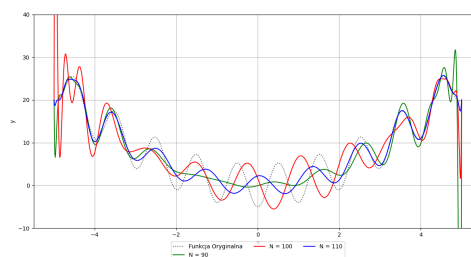


Rysunek 20: Wizualizacja Aproksymacji | Stopień wielomianu $m = 20$ | Liczby węzłów $n = 70, 90, 100$

5.5. Dla stopnia $m = 50$



Rysunek 21: Wizualizacja Aproksymacji | Stopień wielomianu $m = 50$ | Liczby węzłów $n = 60, 70, 80$

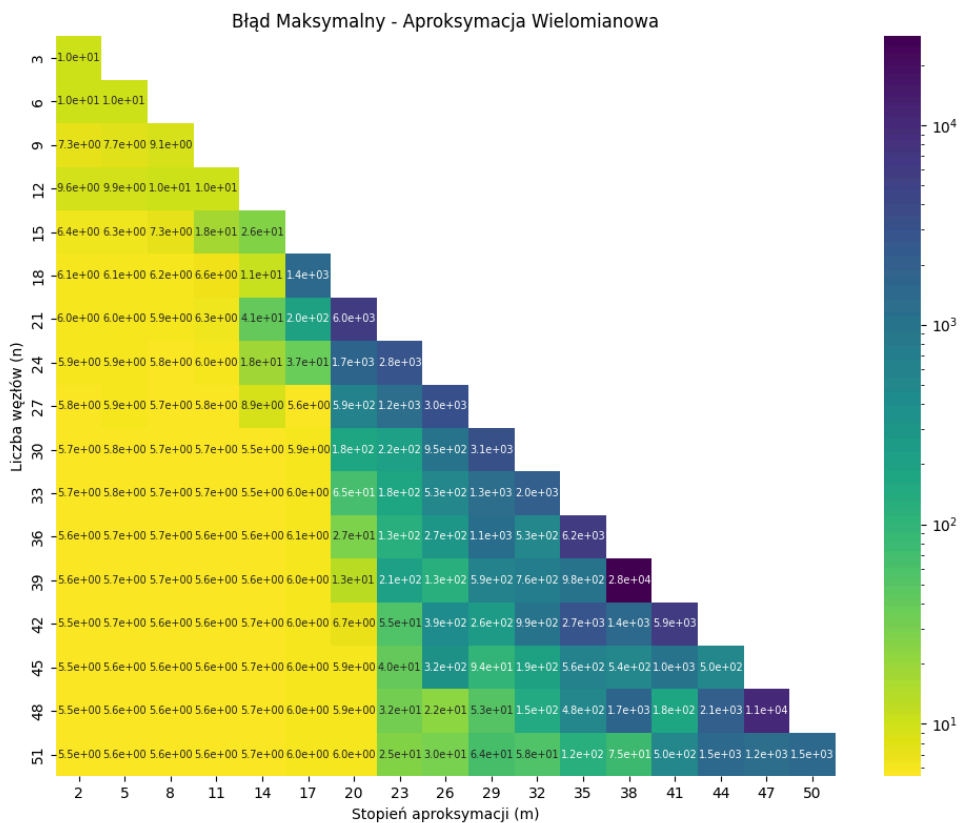


Rysunek 22: Wizualizacja Aproksymacji | Stopień wielomianu $m = 50$ | Liczby węzłów $n = 90, 100, 110$

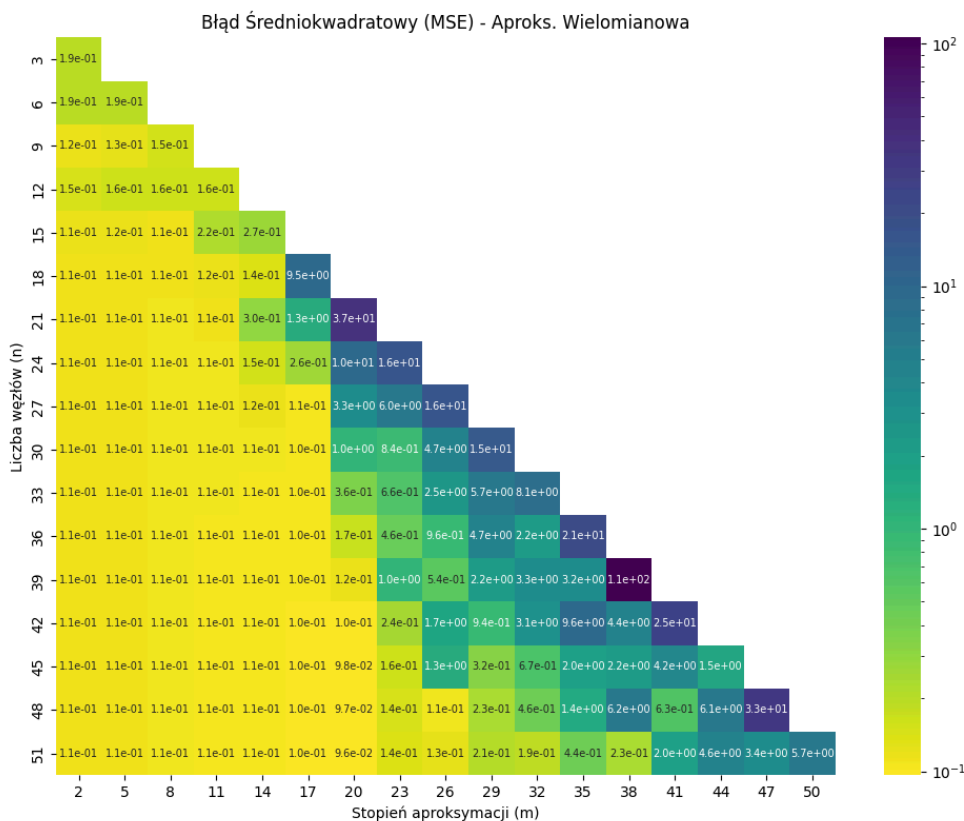
6. Analiza błędów aproksymacji

Poniższe wykresy w postaci „map ciepła” przedstawiają dokładną skalę błędów aproksymacji wielomianowej dla błędu maksymalnego E_m (Rysunek 23) oraz średniokwadratowego E_g (Rysunek 24). Wyniki zostały przedstawione dla $n \leq 51$ w celu zachowania czytelności.

Można zauważyć, że wraz ze wzrostem stopnia wielomianów aproksymacji m dla danej liczby węzłów n widoczna jest tendencja do znacznego zwiększenia wartości błędów. Jednocześnie, dla każdego $m \geq 23$ widoczny jest znaczący wzrost wartości błędów.



Rysunek 23: Wizualizacja błędów aproksymacji - Błąd Maksymalny E_m



Rysunek 24: Wizualizacja błędów aproksymacji - Błąd Średniokwadratowy E_s

7. Analiza przypadków szczególnych

Dokładność przybliżenia względem zmiennych parametrów

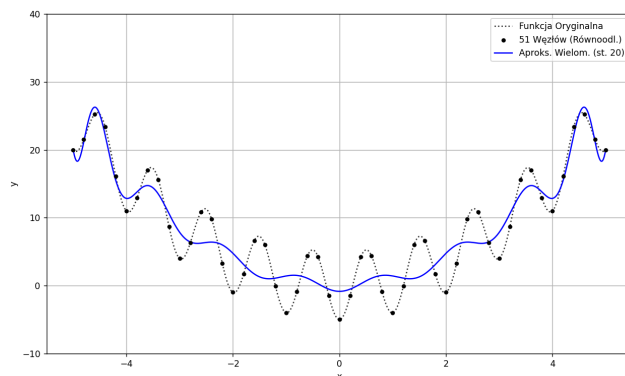
Dla ustalonej liczby węzłów, zwiększanie stopnia wielomianu prowadzi do poprawy dokładności przybliżenia, lecz po przekroczeniu optymalnej wartości stopnia wielomianu, można zaobserwować gwałtowny **wzrost błędu aproksymacji** oraz pojawienie się efektu Rungego. Można to tłumaczyć złym uwarunkowaniem układu równań dla wartości m zbliżonych do liczby węzłów n .

Z kolei przy stałym stopniu wielomianu, zwiększanie liczby węzłów zazwyczaj poprawia dokładność aproksymacji. Jednak dla wielomianów wysokiego stopnia (np. $n > 20$), zależność między liczbą węzłów a dokładnością przybliżenia staje się coraz słabsza. Najbardziej zauważalne efekty widoczne są, gdy liczba węzłów przewyższa przynajmniej dwukrotnie stopień wielomianu aproksymacji.

Efekt Rungego

Efekty **gwałtownej oscylacji** wielomianu aproksymacyjnego występują w przypadku stopni wielomianu m zbliżonych co do wartości do liczby węzłów - im większa wartość dla danej aproksymacji tym **efekt Rungego** staje się bardziej widoczny. Zjawisko to w mniejszym stopniu przejawia się dla wykresów, gdzie $n \leq 10$, później staje się wyraźnie widoczna (Rysunek 6, Rysunek 8, Rysunek 12).

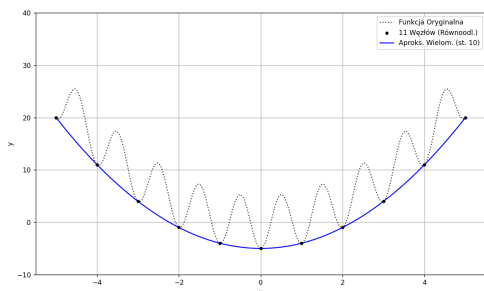
Wielomian aproksymacji o najlepszym dopasowaniu



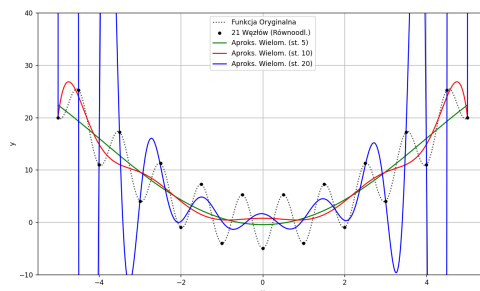
Rysunek 25: Wielomian Aproksymacji o najmniejszym błędzie średniokwadratowym | $n = 51, m = 20$

Na podstawie Rysunek 24 można wyciągnąć wnioski, że najlepsze dopasowanie wielomianu, wśród wartości $n \leq 51$ oraz $m \leq 50$, ma miejsce dla $n = 51$ oraz $m = 20$ z wartością błędu $E_g \approx 0.096$. W tym przypadku, stopień wielomianu m jest dwukrotnie mniejszy od liczby węzłów n , co pozwala na dokładniejszą aproksymację przez korzystne uwarunkowanie układu równań.

Przypadek węzłów na ekstremach lokalnych funkcji



Rysunek 26: Wielomian Aproksymacji | Węzły w lokalnych minimach | $n = 11$, $m = 10$



Rysunek 27: Wielomian Aproksymacji | Węzły w lokalnych ekstremach | $n = 21$, $m = 5, 10, 20$

W przypadku występowania węzłów aproksymacji **na minimach lokalnych** funkcji f (liczba węzłów $n = 11$) (Rysunek 26), dowolny stopień wielomianu > 1 daje ten sam efekt - wynikowy wielomian aproksymacyjny wyglądem jest tożsamy z wielomianem stopnia drugiego, który przechodzi przez wszystkie minima bez gwałtownych oscylacji.

W przypadku **maksymów lokalnych** funkcji f (liczba węzłów $n = 21$) (Rysunek 26), wielomian aproksymacyjny zgodnie z oczekiwaniami mieści się pomiędzy węzłami funkcji. Podobnie jak w wyżej opisanych przypadkach, przy zastosowaniu większego stopnia wielomianów zaczyna być widoczny efekt Rungego na krańcach przedziałów.